

	non-S-O群 (n=104) (2016-2017)	S-O群 (n=51) (2018-)	p value
年齡,中央値 (範囲)	69 (35-90)	71 (49-88)	0.630
平均腫瘍径 (範囲) (mm)	28.4 (10-50)	29.8 (15-80)	0.423
肉眼型 n (%) 隆起型:表面型	25 (24.0): 79 (76.0)	8 (15.7): 43 (84.3)	0.233
部位, n (%) 右側: 左側: 直腸	53 : 21: 30 (51.0: 20.2: 28.8)	32: 11: 5 (68.6: 21.6: 9.8)	0.040
一括切除率, n (%)	101 (97.1)	50 (98.0)	0.632
完全切除率, n (%)	92 (88.5)	47 (92.2)	0.477
治療時間±SD (min)	75.6±37.2	56.0±29.0	0.001
穿孔, n (%)	4 (3.8)	1 (2.0)	0.720
後出血, n (%)	1 (1.0)	0 (0)	0.478
組織学的所見, n (%) SSAP+腺腫/ Tis/ T1	42/ 38/ 24 (40.4/ 36.5/ 23.1)	27/ 22/ 3 (52.9/ 43.1/ 5.9)	0.056

表 1 大腸 ESD への S-O clip® 導入後の施行時間の短縮 第 101 回 日本消化器内視鏡学会近畿支部例会 (2018 年 11 月 10 日開催)

シンポジウム 2 発表内容より抜粋

離が困難となることがあるが、PCM を併用することで呼 吸性変動をコントロールできることを発見し現在多数例で 実践している 7. さらに、我々は高度線維化例においても PCM のポケット内で操作することでより安定した剥離が 可能となることを以前に報告しているが、S-O clip® との 併用で潜り込みがしやすくなりさらなる手技時間の短縮が 図れており、現在は長径 30mm以上の病変ではほぼ全例で PCM 法と S-O clip[®] を併用するようにしている[®]. また S-O clip® およびクラッチカッターの操作には慣れが必要 であり当院では熟練した ME の介助により speedy な手技 が可能となっている. 最後に 2019 年 1 月より S-O clip® のループ部の素材がナイロンからポリアミドエラストマー に代わりゼオクリップ® 装置のハネ部で容易にカットが 可能となっている (図 4a-c). 今後 S-O clip® + PCM + ク ラッチカッターの併用による安全な大腸 ESD のさらなる 普及を期待している.

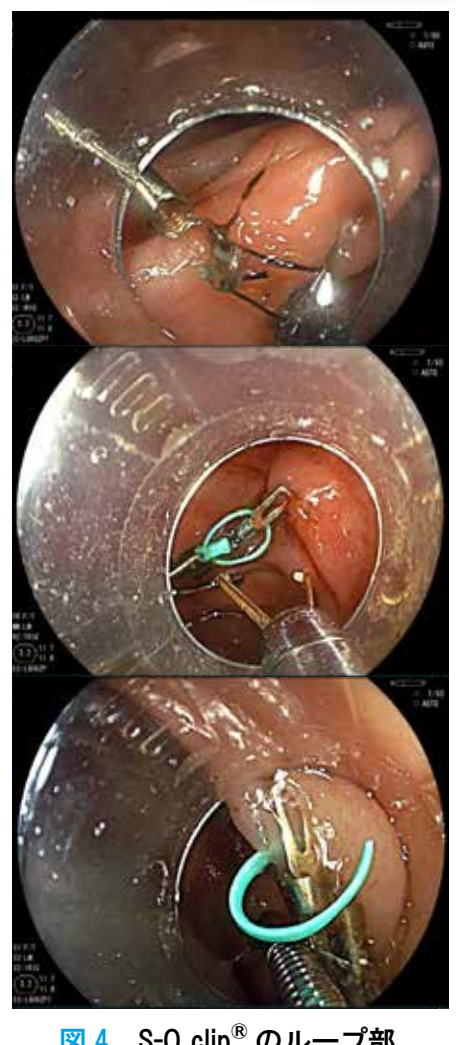


図 4 S-O clip® のループ部

- a. 従来のループ部は ESD ナイフによる通電切開が必要で あったが時に切離に難渋した.
- 改良品ではリング部は緑色のポリアミドエラストマー樹 脂となりゼオクリップ® 装置での切離が可能.
- c. 切断されたループ部.

【参考文献】

- Sakamoto N, Osada T, Shibuya T, et al. Endoscopic submucosal dissection of large colorectal tumors by using a novel spring-action S-O clip for traction (with video). Gastrointest Endosc 2009:69:1370-1374.
- Akahoshi K, Honda K, Akahane H, et al. Endoscopic submucosal dissection by using a grasping-type scissors forceps: a preliminary clinical study (with video). Gastrointest Endosc 2008;67:1128-1133.49. Yoshida N. Inada Y. Murakami T. Naito Y. Itoh Y.
- Matsumura S, Yoshida N, Ken Inoue K. Colorectal endoscopic submucosal dissection with a scissor-type knife and a traction device. Dig Endosc. 2019 in press
- Yoshida N, Naito Y, Hirose R, et al. Risk of lens cloudiness during colorectal endoscopic submucosal dissection and ability of a novel lens cleaner to maintain and restore endoscopic view. Dig Endoscopic
- Yoshida N, Toyonaga T, Murakami T, et al. Efficacy of a novel narrow knife with water jet function for colorectal endoscopic submucosal dissection. Gastro Res Pract. 2017;2017:5897369.
- Chuncharunee L, Yoshida N, Inoue K. Tips for the endoscopic retrieval of a large rectal tumor after endoscopic submucosal dissection by a forefinger-compression method. Dig Endosc. 2019 in press Hayashi Y, Miura Y, Yamamoto H. Pocket-creation method for the safe, reliable, and efficient endoscopic submucosal dissection of colorectal lateral spreading tumors. Dig Endosc 2015; 27: 534-5
- Yoshida N, Murakami T, Yasuda R, et al. The efficacy of the pocket-creation method for cases with severe fibrosis in colorectal endoscopic submucosal dissection. Endosc Int Open 2018;6:E975-E983.

ゼオンメディカル株式会社

富士フイルムメディカル株式会社

URL:http://www.zeonmedical.co.jp

XEMEX は日本ゼオン(株)の登録商標です。



大腸 ESD における S-O clip® の使用工夫 および時間短縮効果

京都府立医科大学 消化器内科 吉田 直久 先生 井上 健 先生





はじめに

大腸腫瘍に対する内視鏡治療の進歩は著しく、従来 であれば外科手術が必要であった20㎜以上の腫瘍も endoscopic submucosal dissection (ESD) で切除可能と なっている。一方で長径 50mm以上の大きな病変、部位的 な困難性、および長い施行時間はいまだ課題として残され

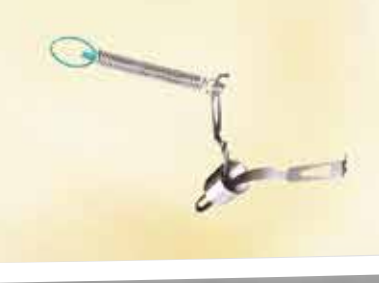
そのようななかで ESD 処置具として S-O clip® が登場 し、手技の困難性は大いに低下している 1). さらにハサミ 型ナイフであるクラッチカッターは粘膜切開、剥離、止 血とすべての ESD 手技が可能であり、当院では現在 S-O clip® と組み合わせることでより安全で速やかな ESD が 実践できており、本 report において同手技を紹介する^{2,3}.

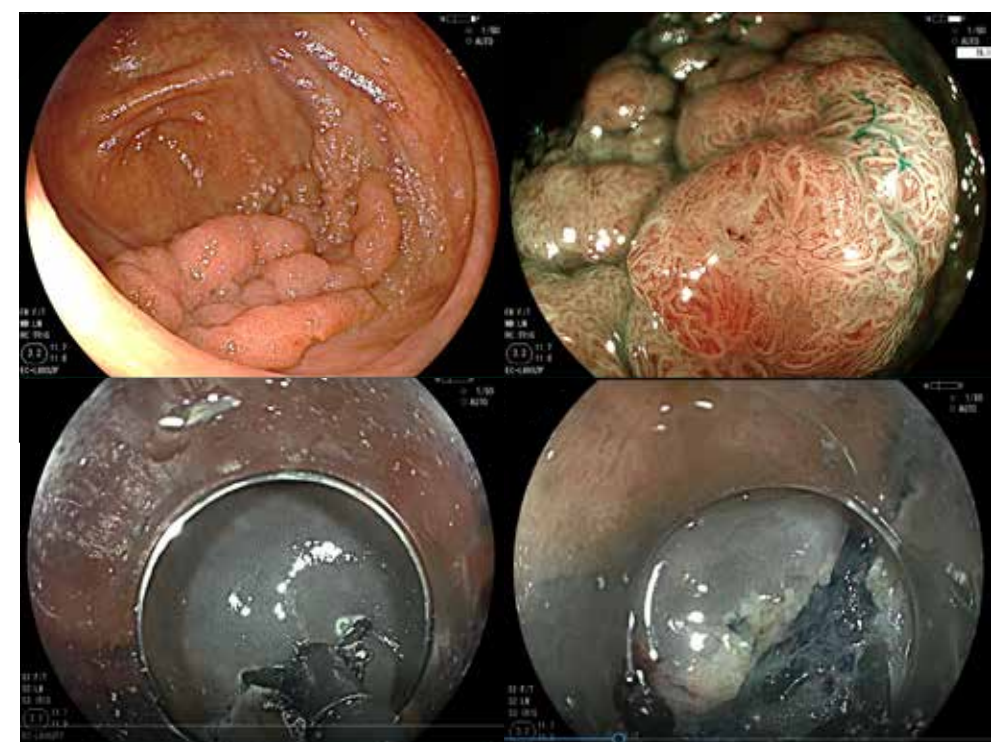
症例は、70代女性、盲腸の長径 50mmの表面隆起型腫瘍 を認めた. 部位および腫瘍径的にやや難易度が高い症例 であったが、白色光観察および BLI 拡大観察で明らかな 浸潤所見はなく粘膜内癌と診断し ESD 適応とした (図 1a, 1b). 盲腸病変のためスコープに対して病変が対峙してお

り、呼吸性変動も強く、ESD においてはやや配慮が必要な 病変であった. 先端透明フードとしてエラスティックタッ チを装着し術中のレンズ汚れの防止にクリアッシュを併用 した⁴. 2倍希釈したムコアップを局注し、病変内に切り 込まないようにマーキングを行い、病変口側よりクラッ チカッター 3.5mmを用いて粘膜切開を行った (VIO300D: Endocut I, effect 1, duration 4, interval 1] (図1c). その後, 適宜局注を追加し出血をクラッチカッターで止血しながら 全周切開を施行した. なお全周切開においてはその後の手 技を容易にするため、病変がある程度縮小するまでの十分 な深さの切開となるように心掛けて行っている (図 1d).

時間短縮のため長径50㎜以上の病変では速やかな粘膜 切開のためにフラッシュナイフ BT-S 2.0mmを併用すること もあるが、本症例ではクラッチカッターのみで粘膜切開 を行った⁵. そして、病変肛門側の粘膜端に S-O clip[®] の 掴み代を作るため、わずかに粘膜下層剥離(Forced 凝固 30W. effect 2を1秒程度行った後に先述の Endocut I を 0.5-1 秒程度併用し剥離) を施した後, S-O clip® を装着 し、病変対側の 2-3cm程度肛門側の粘膜面に通常のクリッ プにて S-O clip® を装着した. 病変はスコープに対してや

s-oclip_®





盲腸の 50mmの表面隆起型病変.

c d

- BLI 拡大にて不整なパターン(INET
- クラッチカッターにて粘膜切開.
- 病変肛門側をわずかに剥離しS-O clip® の掴み代を作成.

図 1 S-O clip® および PCM 法を併用した大腸 ESD: 観察~粘膜切開

や対峙していたが S-O clip[®] (図 2a) により牽引され良好 な剥離層が得られた. Pocket-creation method (PCM) によ り病変中央部のみを剥離して病変下にポケットを作成し、 ポケット内で処置を行うことで呼吸性変動が軽減し安定し た剥離を施行しえた (図 **2b,c**). なお PCM では局注の漏 れも少なく, 追加の局注回数が減り効率がよい. さらにク ラッチカッターによる剥離では、 術中の太径血管の処理お よび止血処置もすべて施行可能であり止血鉗子は不要であ る (図 2d).

その後病変口側の粘膜切開部まで剥離を続け、貫通し トンネルを形成した (図 3a). 引き続き両サイドの粘膜下 層を肛門側より剥離するが、従来の PCM では同部の剥離 は局注も抜けており先端系ナイフでは時に難しい場合も ある。しかしながら病変部が S-O clip® で牽引されている ため、粘膜下層がうまく展開しクラッチカッターを併用す ることで容易に剥離しえる (図 3b). 施行時間 50 分で一 括切除を終了しえた(図3c). 術後潰瘍に対して血管処理 をクラッチカッターにて行い [soft 凝固, efect4, 100W], 最後に対側の S-O clip® をゼオクリップ® 装置のハネ部 を用いて取り外し切開し病変を回収した. 大きな病変の回 収にあたっては組織の挫滅を防ぐべく把持鉗子にて病変粘 膜下層側を把持しながら直腸までスコープを引き抜き、そ の後スコープのシャフトを左手小指に持ち替え右手人差し 指で肛門管を広げながら抜去する Forefinger compression method (FCM) で病変を挫滅なく回収しえた⁶⁾. 切除径 は54×50mmであり、その後の病理診断はCancer in adenoma, Tis, tub1, HM0, VM0 であった (図 3d).

コメント

S-O clip® の効果については、その導入前後で施行時 間を比べると格段に施行時間が短縮していた (表1). こ の効果は特に ESD 経験数の少ない内視鏡医では顕著で あった. またクラッチカッターと併用することでより安 全な ESD が可能となり、10 例未満の少数の経験でも長径 20-30mmの標準的な病変であれば ESD の完投が実施しえ ている. これは S-O clip® により病変が牽引されることで 病変下への潜り込みが容易となり、牽引された粘膜下層の 剥離層が厚くなっていることから、全体的に ESD の難易 度を下げることができているからと考えられる. また呼吸 性変動の強い病変の場合 S-O clip® のみでは依然として剥

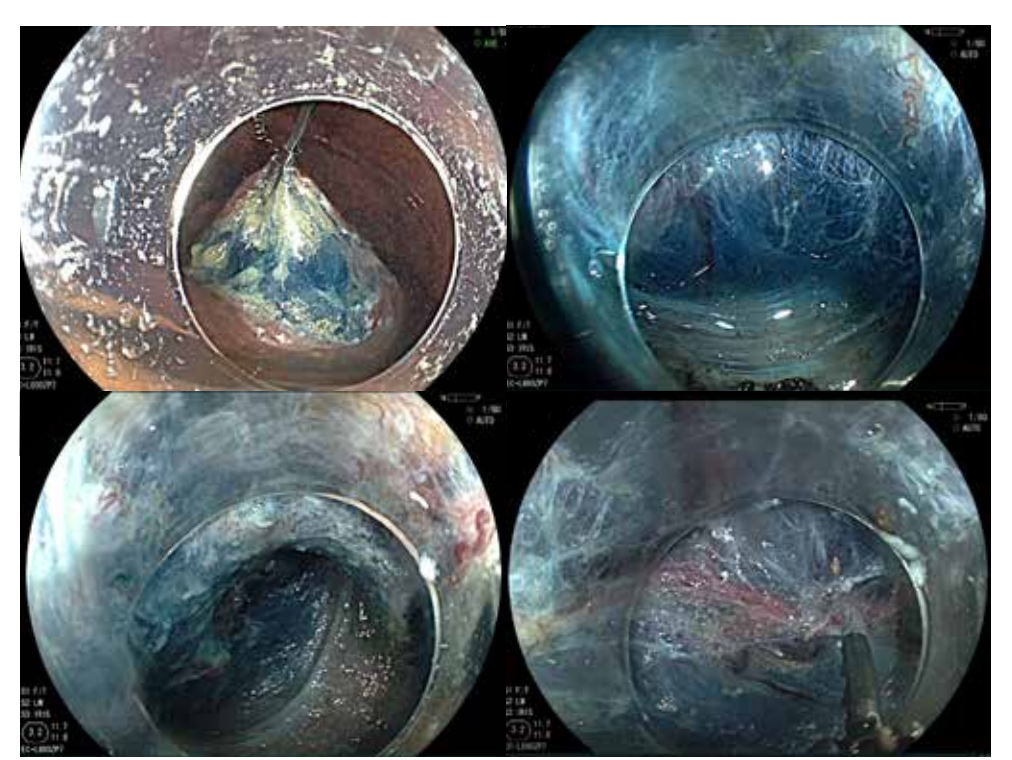


図 2 S-O clip® および PCM 法を併用した大腸 ESD: 装着~剥離

- - 病変肛門側に S-O clip® を装着し, 病変が牽引された.
 - 牽引により良好な剥離層が保たれ ており、ポケット作成のため病変 下中央部のみを剥離.
 - ポケットが完成.
 - クラッチカッターによるポケット 内での太径血管の凝固・剥離が可

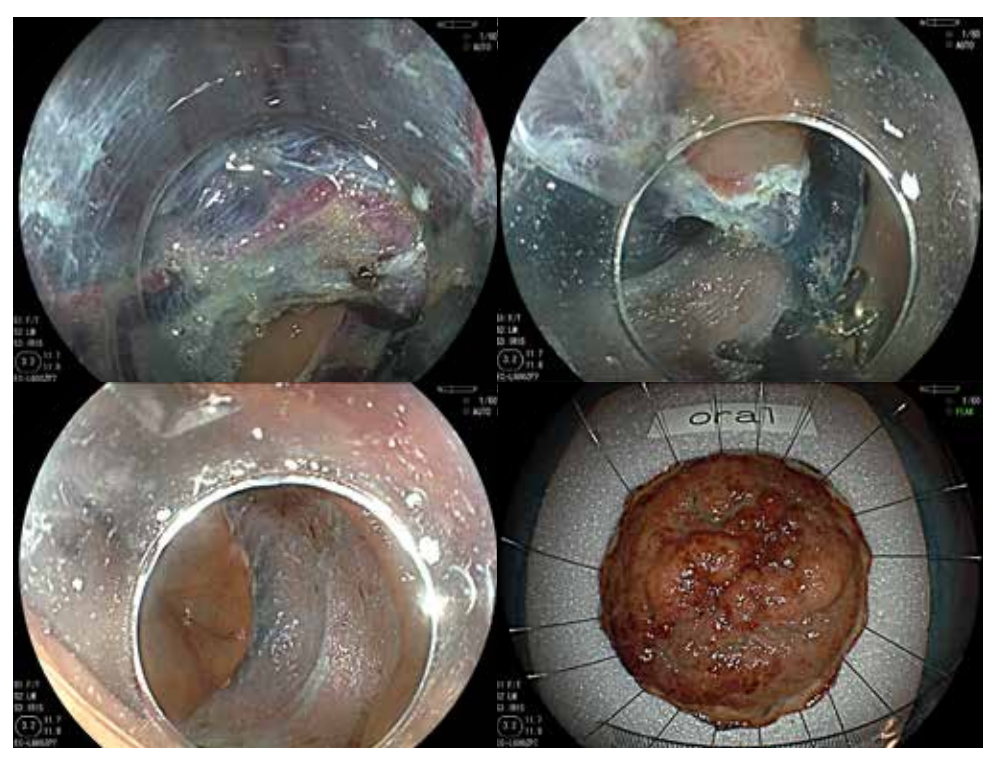


図 3 S-O clip[®] および PCM 法を併用した大腸 ESD: トンネル作成~切除

- a. 病変口側まで剥離をすすめ貫通し トンネルを作成.
- S-O clip® にて良好に牽引された両 サイドの残存粘膜下層を剥離.
- c. 施行時間 50 分で一括切除.
- 病理診断は粘膜内癌, 断端陰性で あった.